

РОССИЙСКАЯ АКАДЕМИЯ НАУК

СИБИРСКОЕ ОТДЕЛЕНИЕ

А В Т О М Е Т Р И Я

---

2003, том 39, № 6

УДК 621.373; 539.216 : 535.211

А. Г. Полещук

(Новосибирск)

ПОГРЕШНОСТИ ФОРМИРОВАНИЯ  
ДИФРАКЦИОННЫХ СТРУКТУР  
ЛАЗЕРНЫМ ТЕРМОХИМИЧЕСКИМ МЕТОДОМ ЗАПИСИ

Проведена оценка искажений геометрических размеров простейших дифракционных структур, записываемых термохимическим методом в пленке хрома (толщиной 80–100 нм) движущимся сфокусированным лазерным пучком. Экспериментально показано, что мощность записывающего лазерного пучка должна поддерживаться с точностью 2–3 % для формирования структур с погрешностями геометрических размеров менее  $\pm 0,1$  мкм.

**Введение.** Развитие современной дифракционной оптики требует разработки технологий воспроизводимого формирования микроструктур (чаще всего с бинарным профилем) с размерами менее 0,5 мкм и световым полем в 200–300 мкм и более. Абсолютная точность геометрического рисунка должна быть на уровне 1/4–1/20 от размера наименьшей дифракционной зоны. В ряде случаев дифракционная структура должна наноситься на выпуклые или вогнутые поверхности или подложки большой толщины [1, 2]. Эти специфические особенности ограничивают применение органических фоторезистов и технологии фотолитографии для изготовления прецизионных и крупногабаритных дифракционных оптических элементов (ДОЭ). Очевидно, что отказ от использования фоторезиста и прямое изготовление структуры ДОЭ в тонкой пленке хрома или другом материале существенно упрощает процесс изготовления и увеличивает его точность.

Термическое воздействие лазерного излучения было положено в основу ряда методов получения микроструктур на тонких пленках. Особенностью лазерной термохимической технологии является то, что под действием нагрева (ниже температуры плавления пленки), инициированного лазерным излучением, в тонкой пленке хрома протекают химические и физические процессы, локализованные в пределах нагреваемой зоны, т. е. образуется «скрытое» «термохимическое» изображение [3]. Область скрытого изображения отличается по физическому и химическому составу от исходной пленки, поэтому проявление ее в селективном травителе позволяет выявить записанную структуру [4, 5].

Для изготовления высококачественных дифракционных элементов с амплитудным пропусканием был предложен метод [4–6], включающий в

себя экспонирование в полярной системе координат вращающейся с постоянной скоростью подложки, покрытой тонкой пленкой хрома, и ее последующую химическую обработку (проявление) в специальном селективном травителе. Экспонирование производилось сфокусированным излучением мощного непрерывного лазера (видимого или УФ-диапазона) путем кругового или спирального сканирования подложки [7] с помощью круговой лазерной записывающей системы (КЛЗС) [8]. Многолетнее практическое использование данного метода для изготовления ДОЭ выявило несколько факторов, существенно влияющих на точность изготовления дифракционной структуры. Основные из них: зависимость геометрических размеров формируемой структуры от интенсивности излучения в записывающем пучке, его формы и размеров, толщины и состояния поверхности пленки хрома, длительности записывающего импульса излучения, способа напыления хрома и его адгезии к подложке, времени проявления в селективном травителе и т. д. Решение этих проблем или минимизация их влияния необходимы, в частности, для создания эталонных дифракционных элементов, применяемых в контрольно-измерительной технике, например, для измерения формы поверхности высокояпертурной асферической оптики.

Целью предлагаемой работы является исследование механизма возникновения погрешностей размеров записываемых микроструктур в пленке хрома, обусловленных изменением интенсивности записывающего лазерного излучения.

**1. Искажения записываемой микроструктуры.** Простейшими элементами, из которых формируются все микроструктуры, при записи в полярной системе координат являются треки в виде набора дуг. Так как при бинарной записи важны лишь начало и конец дуг, то они могут быть представлены в виде ячеек с полярными координатами  $P_i(r_i, \phi_i)$ , где  $r_i$  – расстояние от оси вращения шпинделя до центра записывающего пучка;  $\phi_i$  – угловая координата центра записывающего пучка (расстояние между началом угловой координаты ( $\phi = 0$ ) и текущим угловым положением) [7]. Процесс записи вносит погрешности в записанную микроструктуру. Эти погрешности имеют две основные компоненты:

- разность между рассчитанными  $P_i(r_i, \phi_i)$  и записанными  $P'_i(r'_i, \phi'_i)$  координатами ячеек, из которых состоят треки. Погрешности координаты начала и конца трека определяются как  $\delta_{1,2} = (\phi'_{1,2} - \phi_{1,2})r$ , где  $\phi_{1,2}$  и  $\phi'_{1,2}$  – заданные и реально записанные угловые координаты начала (индекс 1) и конца (индекс 2) трека соответственно;

- различие ширин рассчитанного  $D$  и реально записанного  $D'$  треков:  $\Delta D = D - D'$ .

Одним из источников погрешностей является неидеальная работа узлов КЛЗС [7]. Другие источники погрешностей связаны с некорректным выбором мощности записывающего излучения и стратегии записи [6]. Рассмотрим влияние выбора мощности записывающего излучения на угловые и радиальные размеры (ширину и длину) формируемого трека при термохимическом методе записи.

**1.1. Ширина трека.** Распределение интенсивности излучения записывающего пучка в области  $x, y < \sigma$  (далее для простоты будем полагать  $x = \phi r$ ,  $y = r$ ) достаточно хорошо описывается функцией Гаусса

$$I(x, y) = I_0 \exp[-(x^2 + y^2)/\sigma^2],$$

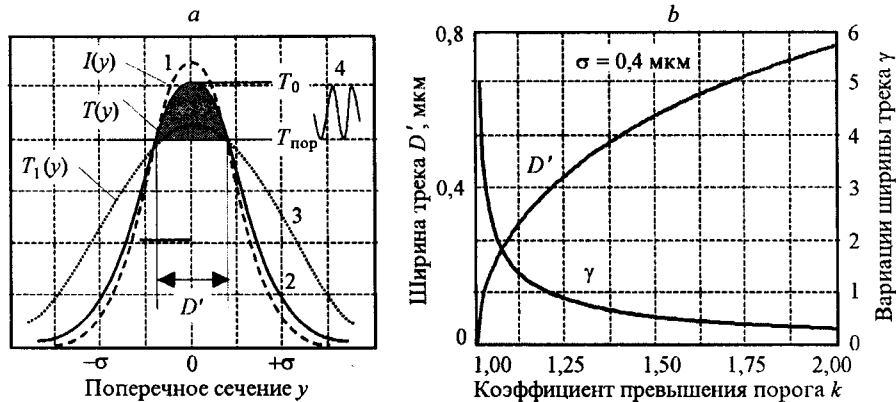


Рис. 1. Определение ширины линий: температурного изображения (а), записываемого трека (б)

где  $I_0$  – интенсивность излучения в центре пучка, а  $\sigma$  – радиус распределения интенсивности на уровне  $e^{-1}$  (рис. 1, а, кривая 1). Температурное поле в пленке в значительной степени определяется режимом нагрева. При достаточно большой скорости движения записывающего пучка ( $v_n \gg a_1/\sigma$ , где  $a_1$  – коэффициент температуропроводности пленки) температурное поле пленки («след») также соответствует гауссовому распределению [9, 10]:

$$T(x) = T_0 \exp [-(x^2 + y^2)/\sigma_t^2], \quad (1)$$

где  $T_0$  – температура пленки в центре пучка;  $\sigma_t$  – радиус распределения температуры (см. рис. 1, а, кривая 2).

Механизм термохимической записи обладает достаточно четко выраженным пороговым эффектом, ниже которого физические и химические изменения пленки хрома практически отсутствуют [3–5]. Основной вклад в формирование этого порога вносит тонкая пленка (толщиной 1–5 нм) из окислов хрома [3], которая образуется на поверхности пленки хрома под действием нагрева, инициированного лазерным излучением, а также физико-химических изменений в самой пленке [5].

Ширина записанного трека  $D'$  (вдоль координаты  $y$ ) определяется шириной области, прогретой до пороговой температуры  $T_{\text{пор}}$ . Обозначая коэффициент превышения порога как  $k = T_0/T_{\text{пор}}$ , из выражения (1) можно оценить ширину записываемого трека:

$$D' = 2\sigma_t \sqrt{\ln(k)}. \quad (2)$$

На рис. 1, б показана зависимость ширины трека  $D'$  от величины коэффициента  $k$  превышения порога при записи лазерным пучком с радиусом  $\sigma = 0,4 \mu \text{мкм}$ . Видно, что ширина трека меняется в несколько раз при незначительном изменении коэффициента  $k$ . Вариации ширины трека связаны с вариациями интенсивности записывающего излучения (или коэффициента  $k$ ) выражением

$$\gamma = (\partial D'/D')/\partial k = 1/k \sqrt{\ln(k)}. \quad (3)$$

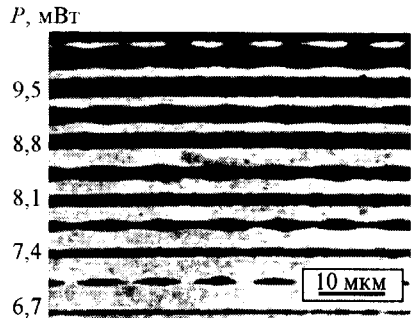


Рис. 2. Микрофотография тестовых дорожек с 10%-ной синусоидальной модуляцией мощности записывающего пучка

метить, что изменение ширины записываемого трека происходит симметрично относительно центра записывающего пучка.

Радиус  $\sigma_t$  температурного распределения растет с увеличением времени нагрева и, следовательно, с уменьшением скорости сканирования (см. рис. 1, *a*, кривая 3). В качестве примера на рис. 2 приведена фотография серии треков [11], записанных с периодом 4 мкм (в радиальном направлении) в пленке хрома толщиной 120 нм. Скорость движения 2,5 см/с, что при размере записывающего пучка  $\sigma = 0,4$  мкм дает характерную длительность экспонирования около 30 мкс. При каждом значении мощности  $P$  излучения записывались два трека: один с синусоидальной модуляцией ( $\pm 10\%$ ) среднего уровня мощности (см. рис. 1, *a*, кривая 4), а другой без нее. Видно, что при ширине трека менее 1 мкм (нижняя пара треков записана при  $P = 6,7$  мВт) уменьшение мощности излучения на 10 % ведет к исчезновению треков, позволяет определить величину коэффициента  $k = 1,1$  и оценить радиус  $\sigma_t$  температурного распределения в данном эксперименте. Это означает, что запись осуществлялась вершиной температурного распределения, инициированного лазерным пучком, причем механизм записи имел явно выраженный пороговый характер. Из выражения (2) для  $k = 1,1$  и  $D' = 1$  мкм получено  $\sigma_t = 1,6$  мкм, что в 4 раза больше радиуса  $\sigma$  записывающего пучка. Из выражения (2) также следует, что при допустимой вариации ширины трека 10 % ( $\delta D'/D' = 0,1$ ) и  $k = 1,1$  вариации мощности записывающего излучения (лазерные шумы) не должны превышать 1 %.

1.2. *Длина трека.* Трек записывается движущимся относительно пленки хрома со скоростью  $v_n$  сфокусированным лазерным пучком. Оценку изменения длины трека (угловое направление) можно дать, рассмотрев по отдельности моменты включения и выключения излучения, показанные на рис. 3 (точки  $x_1$  и  $x_2$  соответственно). В момент включения  $x_1$  температура пленки в записывающем пучке линейно растет в зависимости от интенсивности излучения  $I_0$  и времени экспозиции  $\tau$  [12]:  $T(\tau) = I_0 A_1 \tau / \rho_1 C_1 h_1 + T_n$ , где  $A_1$  – коэффициент поглощения пленки хрома;  $\rho_1$  – плотность;  $C_1$  – теплоемкость;  $h_1$  – толщина;  $T_n$  – начальная температура пленки. В этом приближении, справедливом при  $v_n > a_1 / \sigma$ , зависимость температурного распределения вдоль центра записанного трека в момент включения можно оценить сверткой функции нормированного температурного распределения  $T(x/\sigma_t)$ , инициированного записывающим пучком, и функции включения (длительностью фронтов пренебрегаем) излучения  $P(x/\sigma_t)$  лазера:

$$T_d(x/\sigma_t) \approx AT(x/\sigma_t) \otimes P(x/\sigma_t), \quad (4)$$

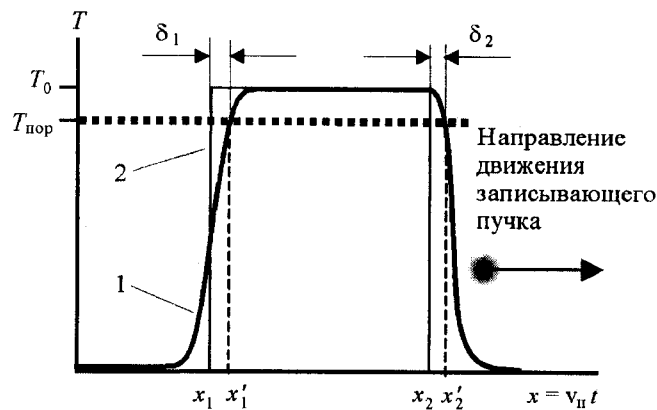


Рис. 3. Максимально достигнутое значение температуры пленки вдоль направления движения записывающего пучка (кривая 1) и форма импульсного включения и выключения излучения (кривая 2)

где  $A$  – коэффициент пропорциональности.

Распределение максимально достигнутого значения температуры пленки вдоль направления движения записывающего пучка показано на рис. 3 (кривая 1). После окончания действия импульса излучения, в момент  $x_2$ , пленка начинает остывать. Время остывания пленки хрома толщиной  $h = 80–100$  нм до температуры прекращения термохимических изменений ( $T \sim 0,4–0,5T_0$ ) составляет менее 0,05 мкс [9], что примерно соответствует длительности фронта светового импульса записи КЛЗС. Если  $T_{\text{пор}}$  – пороговая температура термохимических изменений в пленке, то координатами точек начала и конца записанного трека будут  $x'_1$  и  $x'_2$  вместо заданных  $x_1$  и  $x_2$ . Таким образом, термохимическому методу записи присущи погрешности координат начала и конца записываемой дуги. Величина этих искажений определяется в основном свойствами хрома, размерами и скоростью движения пучка и коэффициентом превышения порога  $k$ . Из графиков, приведенных на рис. 3, следует, что в зависимости от величины коэффициента  $k$  положение координаты начала записываемого трека может быть как до, так и после координаты включения излучения, а координата конца трека всегда находится после координаты, соответствующей выключению излучения. Имеет место угловой сдвиг трека, что необходимо учитывать при изготовлении ДОЭ и оптических шкал с помощью КЛЗС. Различный характер формирования температурного распределения при включении и выключении излучения приводит также к различию формы начала и конца записываемого трека: начало трека, как правило, является более узким (см., например, [11], рис. 8).

2. Эксперимент. Результаты экспериментального исследования особенностей записи термохимическим методом простейшего элемента (короткой дуги) приведены на рис. 4. Исследование осуществлялось с помощью КЛЗС, разработанной в Институте автоматики и электрометрии СО РАН [6, 8]. Для экспериментов использовались пленки хрома магнетронного напыления толщиной 80 нм, нанесенные на стеклянные пластины размером  $102 \times 102$  мм. Скорость движения записывающего пучка относительно пленки хрома изменилась от 1 до 200 см/с в зависимости от радиуса записи. Мощность излучения в записывающем пучке последовательно уменьшалась с шагом 2 мВт, начиная с критического значения  $P_k$  начала плавления пленки. Записывались

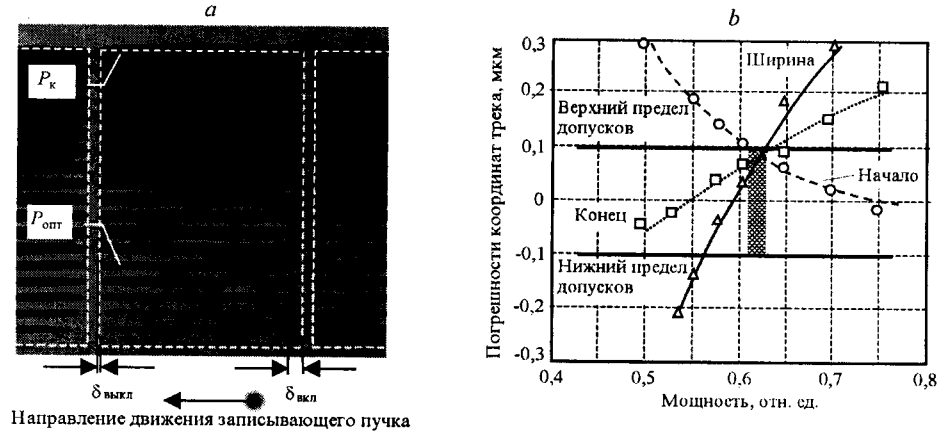


Рис. 4. Результаты исследования размеров записанных треков: микрофотография фрагмента теста (а) и отклонения размеров ( $0,75 \times 20$  мкм) записанных треков в зависимости от интенсивности излучения в записывающем пучке (б)

группы треков с периодом в радиальном направлении 1,5 мкм, длиной в угловом направлении 20 мкм, зазор между группами 1 мкм. Треки записывались тремя проходами записывающего пучка без смещения в радиальном направлении [7]. Далее пластины с пленками хрома проявлялись в селективном травителе [5] до полного исчезновения неэкспонированных участков хрома. Микрофотография одного фрагмента экспериментальной записи (радиус 20 мм,  $v_p = 150$  см/с,  $P_k = 100$  мВт) приведена на рис. 4, а. На фотографии расчетные границы дуг показаны штриховой линией. Видно, что только размеры одной дуги, соответствующей мощности записывающего пучка  $P_{opt} \approx 0,6P_k$ , согласуются с расчетными значениями длины трека (20 мкм). Наряду с изменением ширины трека имеет место смещение ее начала и конца ( $\delta_{выкл}$  и  $\delta_{вкл}$ ), причем величина этого смещения больше в момент включения (т. е.  $\delta_{выкл} < \delta_{вкл}$ ), что соответствует выводам в разд. 1.2.

На рис. 4, б представлены результаты измерения отклонения ширины и длины записываемого трека от номинальной величины для различной мощности записывающего излучения. Видно, что мощность записывающего лазерного пучка должна поддерживаться с точностью 2–3 % для формирования структур с погрешностями геометрических размеров менее  $\pm 0,1$  мкм (эта величина соответствует точности позиционирования записывающего пучка в КЛЭС [8]).

**Заключение.** На основе пороговой модели механизма термохимической записи проведена оценка искажений простейших дифракционных структур, записываемых в пленке хрома сканирующим лазерным пучком. Отмечено сильное влияние незначительных вариаций мощности излучения на размеры формируемых структур вблизи порога, а также различие процессов в пленке хрома при включении и выключении движущегося лазерного пучка, что может приводить к угловому сдвигу записываемого трека. Экспериментально показано, что мощность записывающего лазерного пучка должна поддерживаться с точностью 2–3 % для формирования структур с погрешностями геометрических размеров менее  $\pm 0,1$  мкм.

## СПИСОК ЛИТЕРАТУРЫ

1. Полещук А. Г., Коронкевич В. П. Лазерные методы трехмерного микроструктурирования оптических поверхностей // 3D лазерные информационные технологии /Под ред. П. Е. Твердохлеба. Новосибирск: ИАиЭ СО РАН, 2003. С. 243.
2. Burge J. H. Application of computer-generated hologram for interferometric measurement of large aspheric optics // Proc. SPIE. 1995. **2576**. P. 258.
3. Veiko V. P., Kotov G. A., Libenson M. N., Nikitin M. N. Thermochemical action of laser radiation // Sov. Phys. Doklady. 1973. **18**, N 1. P. 83.
4. Коронкевич В. П., Полещук А. Г., Чурин Е. Г., Юрлов Ю. И. Лазерная термохимическая технология синтеза дифракционных оптических элементов на пленках хрома // Квантовая электрон. 1985. **12**, № 4. С. 755.
5. Коронкевич В. П., Полещук А. Г., Чурин Е. Г., Юрлов Ю. И. Селективное травление экспонированных лазером тонких пленок хрома//Письма в ЖТФ. 1985. **11**, № 3. С. 144.
6. Cherkashin V. V., Churin E. G., Korolkov V. P. et al. Processing parameters optimization for thermochemical writing of DOEs on chromium films // Proc. SPIE. 1997. **3010**. P. 168.
7. Полещук А. Г., Корольков В. П., Черкашин В. В. и др. Методы минимизации ошибок прямой лазерной записи дифракционных оптических элементов // Автометрия. 2002. **38**, № 3. С. 3.
8. Poleschchuk A. G., Churin E. G., Koronkevich V. P. et al. Polar coordinate laser pattern generator for fabrication of diffractive optical elements with arbitrary structure // Appl. Opt. 1999. **38**, N 8. P. 1295.
9. Paek U. C., Kestenbaum A. Thermal analysis of thin-film micromachining with lasers // Journ. Appl. Phys. 1973. **44**. P. 2260.
10. Вейко В. П., Тучина Е. А., Яковлев Е. Б. О разрешающей способности лазерной литографии на тонких металлических пленках // Квантовая электрон. 1984. **11**, № 4. С. 661.
11. Корольков В. П., Полещук А. Г. Управление оптическим излучением в прецизионных лазерных фотопостроителях // Автометрия. 1985. № 6. С. 51.
12. Либенсон М. Н. Нагрев и разрушение тонких пленок излучением ОКГ // Физика и химия обработки материалов. 1971. № 4. С. 3.

Институт автоматики и электрометрии СО РАН,  
E-mail: [poleshchuk.a.g@iae.nsk.su](mailto:poleshchuk.a.g@iae.nsk.su)

Поступила в редакцию  
22 июля 2003 г.